

# PENGARUH KECEPATAN ALIRAN FLUIDA PANAS DAN KECEPATAN ALIRAN FLUIDA DINGIN TERHADAP KOEFISIEN PERPINDAHAN PANAS MENYELURUH PADA PERPINDAHAN PANAS MELALUI DINDING **BERGELOMBANG**

---

FILE

4P PENGARUH KECEPATAN OCR.PDF (1.12M)

TIME SUBMITTED

23-AUG-2019 12:43PM (UTC+0700)

WORD COUNT

2250

SUBMISSION ID

1162603859

*by* Suratno Lourentius

CHARACTER COUNT  
9180



# PENGARUH KECEPATAN ALIRAN FLUIDA PANAS DAN KECEPATAN ALIRAN FLUIDA DINGIN TERHADAP KOEFISIEN PERPINDAHAN PANAS MENYELURUH PADA PERPINDAHAN PANAS MELALUI DINDING BERGELOMBANG

Oleh : Suratno Lourentius  
Fakultas Teknik Jurusan Teknik Kimia Universitas Katolik Widya Mandala  
Jl. Kalijudan 37 Surabaya

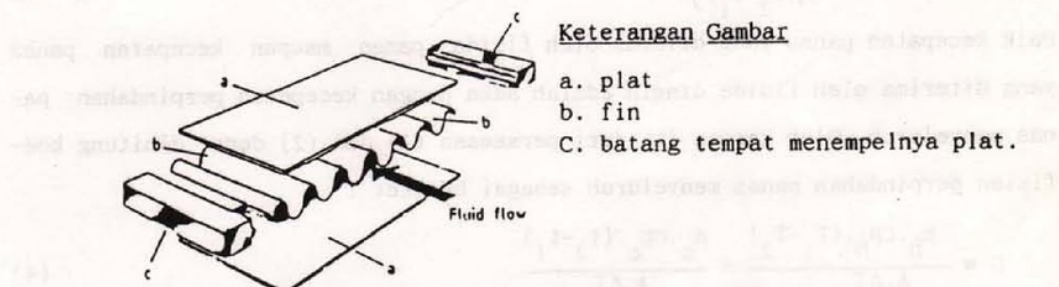
## I. PENGANTAR

### I.1. Latar Belakang

Satuan operasi merupakan penerapan dari satu atau lebih fenomena perpindahan baik perpindahan momentum, panas atau massa. Peralatan satuan operasi untuk perpindahan panas dikenal beberapa tipe, misalnya : "double pipe heat exchanger", "shell-tube heat exchanger" dan "plate-fin heat exchanger". Untuk merancang alat perpindahan panas tipe terakhir diperlukan persamaan dasar yang menghubungkan antara koefisien perpindahan panas dengan variabel-variabel lain yang mempengaruhinya. Persamaan tersebut masih jarang tersedia dalam publikasi ilmiah. Oleh karena itu dirasa perlu untuk mencari persamaan hubungan antara koefisien perpindahan panas keseluruhan dengan variabel-variabel yang berpengaruh pada alat penukar panas tipe "plate-fin", yang di dalam laboratorium didekati dengan plat bergelombang.

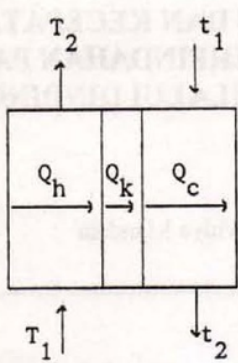
### I.2. Tinjauan Pustaka

Plate-fin heat exchanger mempunyai sirip antara dua plat yang sejajar. Kadang-kadang sirip tergabung dalam sebuah plat bergelombang, seperti terlukis pada Gambar 1. Plat-plat tersebut memisahkan dua aliran fluida yang berbeda suhunya.



Gambar 1. Komponen-komponen penyusun Plate-fin heat exchanger

Perpindahan panas antara dua fluida yang dipisahkan dengan dinding bergelombang secara skematis ditunjukkan dengan Gambar 2 berikut:



Keterangan Gambar:

$Q_h$  = transfer panas dari fluida panas secara konveksi, w  
 $Q_c$  = transfer panas dari fluida panas secara konveksi, w  
 $Q$  = transfer panas dari fluida panas secara konduksi, w  
 $T_1$  = suhu air panas masuk,  $^{\circ}\text{C}$   
 $T_2$  = suhu air panas ke luar,  $^{\circ}\text{C}$   
 $t_1$  = suhu air dingin masuk,  $^{\circ}\text{C}$   
 $t_2$  = suhu air dingin keluar,  $^{\circ}\text{C}$

Gambar 2. Perpindahan panas melalui dinding bergelombang

I.3. Evaluasi Koefisien perpindahan panas menyeluruh

Kecepatan perpindahan panas dari fluida panas ke dinding = kecepatan perpindahan panas di dalam dinding = kecepatan perpindahan panas dari dinding ke fluida dingin. Dalam keadaan mantap maka kecepatan panas yang dilepaskan oleh fluida panas = kecepatan panas yang diserap oleh fluida dingin, yang dapat dinyatakan dengan persamaan berikut :

$$Q = m_h \cdot c_p h \cdot (T_1 - T_2) = m_c \cdot c_p c \cdot (t_2 - t_1) \quad (1)$$

Kecepatan perpindahan panas secara menyeluruh yang merupakan hasil penggabungan proses konveksi dari fluida panas ke dining, konduksi di dalam dinding dan proses konveksi dari dinding ke fluida dingin dapat dinyatakan dengan persamaan :

$$Q = U \cdot A \cdot \Delta T_{LMTD} \quad (2)$$

dengan :

$$\Delta T_{LMTD} = \frac{(T_1 - t_2) - (T_2 - t_1)}{\ln \left( \frac{(T_1 - t_2)}{(T_2 - t_1)} \right)} \quad (3)$$

Baik kecepatan panas yang dilepas oleh fluida panas maupun kecepatan panas yang diterima oleh fluida dingin adalah sama dengan kecepatan perpindahan panas menyeluruh. Oleh karena itu dari persamaan (1) dan (2) dapat dihitung koefisien perpindahan panas menyeluruh sebagai berikut :

$$U = \frac{m_h \cdot c_p h \cdot (T_1 - T_2)}{A \cdot \Delta T_{LMTD}} = \frac{m_c \cdot c_p c \cdot (t_2 - t_1)}{A \cdot \Delta T_{LMTD}} \quad (4)$$

### Analisa Dimensi

Koefisien perpindahan panas menyeluruh ( $U$ ) dipengaruhi oleh beberapa variabel, baik variabel yang berkaitan dengan fluida panas, fluida dingin maupun variabel yang berkaitan dengan peralatan. Variabel-variabel yang berkaitan dengan fluida panas antara lain: densitas ( $\rho_h$ ), viskositas ( $\mu_h$ ), konduktivitas termis ( $kh$ ), kapasitas panas ( $cph$ ) dan kecepatan aliran linier fluida ( $vh$ ). Variabel-variabel yang berkaitan dengan fluida dingin antara lain: densitas ( $\rho_c$ ), viskositas ( $\mu_c$ ), konduktivitas termis ( $kc$ ), kapasitas panas ( $cpc$ ) dan kecepatan aliran linier fluida ( $vc$ ). Variabel-variabel yang berkaitan dengan peralatan antara lain :Diameter efektif aliran ( $De$ ), jarak antara puncak 2 gelombang yang terdapat pada logam ( $La$ ) dan tinggi gelombang plat ( $da$ ).

Hubungan antara koefisien perpindahan panas menyeluruh ( $U$ ) dengan variabel-variabel lain yang mempengaruhinya secara analisa dimensi dengan beberapa penyederhanaan dapat dinyatakan dengan persamaan sebagai berikut :

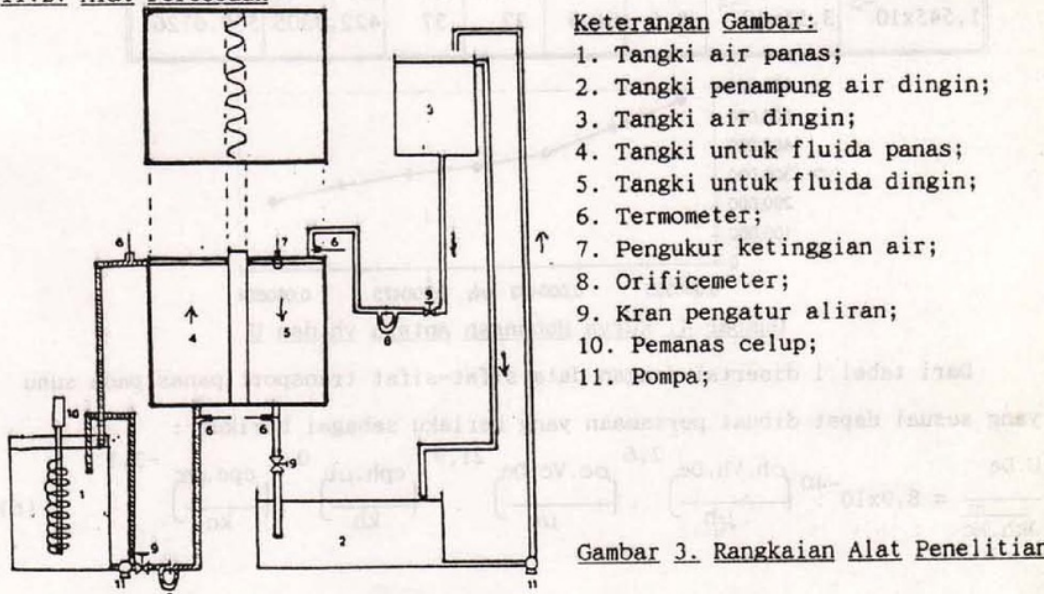
$$\frac{U \cdot De}{\rho_h \cdot kh \cdot kc} = a_0 \cdot \left( \frac{\rho_h \cdot V_h \cdot De}{\mu_h} \right)^{a_1} \cdot \left( \frac{\rho_c \cdot V_c \cdot De}{\mu_c} \right)^{a_2} \cdot \left( \frac{cph \cdot \mu_h}{kh} \right)^{a_3} \cdot \left( \frac{cpc \cdot \mu_c}{kc} \right)^{a_4} \quad (5)$$

## II. METODOLOGI PENELITIAN

### II.1. Bahan

Sebagai fluida kerja dipakai air PDAM dengan sifat-sifat fisis pada  $30^{\circ}\text{C}$  densitas  $995,68 \text{ kg/m}^3$  dan viskositas  $0,8007 \times 10^{-3} \text{ kg/m.s}$

### II.2. Alat Percobaan



Gambar 3. Rangkaian Alat Penelitian

### II.3. Prosedur Penelitian

- Mengisi tangki 1, dan tangki 2 serta tangki 5 dengan air;
- Pemanas tangki 1 dinyalakan;
- Setelah air pada tangki 1 mencapai suhu tertentu, pompa dinyalakan dan air panas dialirkan dengan kecepatan tertentu. Bersamaan dengan itu air dingin dari tangki 3 dialirkan dengan kecepatan tertentu pula;
- setelah tinggi permukaan air pada tangki bagian 4 dan 5 konstan, suhu air masuk dan suhu air ke luar pada tangki 4 dan 5 dicatat;
- percobaan di atas diulangi sebanyak 7 kali dengan mengubah kecepatan masuk pada tangki 4, dengan kecepatan masuk ke tangki 5 konstan;
- percobaan 5 diulangi lagi dengan mengubah kecepatan masuk pada tangki 5, kecepatan masuk pada tangki 4 konstan.

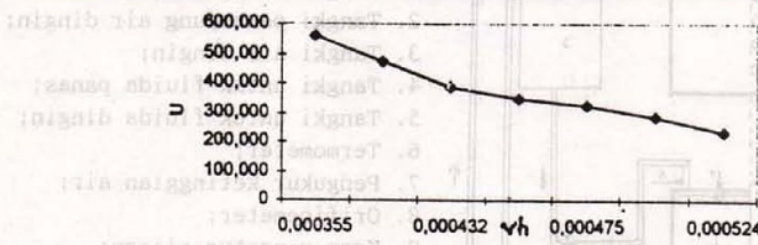
### III. HASIL PENELITIAN DAN PEMBAHASAN

Hasil penelitian disajikan dalam Tabel 1, 2, 3 dan Gambar 4, 5.

#### III.1. Pengaruh Variasi Kecepatan Linier Air Panas

**Tabel 1. Koefisien Perpindahan Panas Menyeluruhan ( $U$ ) untuk berbagai Variasi Kecepatan Linier Air Panas Masuk ( $vh$ ) ( $vc=0,000442 \text{ m/s}$ ,  $La=0,05 \text{ m}$ ,  $De=0,14776 \text{ m}$ ,  $da=0,03 \text{ m}$ ,  $Ap=0,043475 \text{ m}^2$ ,  $A=0,02475 \text{ m}^2$ )**

$vh, \text{m}^3/\text{s}$	$vh, \text{m/s}$	$T_1, {}^\circ\text{C}$	$T_2, {}^\circ\text{C}$	$t_1, {}^\circ\text{C}$	$t_2, {}^\circ\text{C}$	$Q_{avg,w}$	$U, \text{W/m}^2 \cdot {}^\circ\text{C}$
$2,280 \times 10^{-5}$	$5,24 \times 10^{-4}$	68,5	65,5	32	33,5	200,5278	236,5932
$2,185 \times 10^{-5}$	$5,03 \times 10^{-4}$	68,5	65	32	34	237,1345	283,9376
$2,065 \times 10^{-5}$	$4,75 \times 10^{-4}$	68,5	64,5	32	34,5	269,7368	327,8323
$1,980 \times 10^{-5}$	$4,55 \times 10^{-4}$	68,5	64	32	34,5	283,1316	346,7615
$1,880 \times 10^{-5}$	$4,32 \times 10^{-4}$	68,5	63,5	32	35	313,2120	389,5178
$1,700 \times 10^{-5}$	$3,91 \times 10^{-4}$	68,5	62,5	32	36	369,6910	474,3564
$1,545 \times 10^{-5}$	$3,55 \times 10^{-4}$	68,5	61,5	32	37	422,3305	559,6726



**Gambar 4. Kurva Hubungan Antara  $vh$  dan  $U$**

Dari tabel 1 disertai dengan data sifat-sifat transport panas pada suhu yang sesuai dapat dibuat persamaan yang berlaku sebagai berikut :

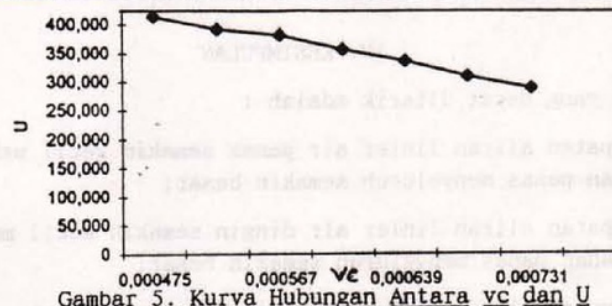
$$\frac{U \cdot De}{kh \cdot kc} = 8,9 \times 10^{-40} \left( \frac{\rho_h \cdot V_h \cdot De}{\mu_h} \right)^{2,6} \cdot \left( \frac{\rho_c \cdot V_c \cdot De}{\mu_c} \right)^{21,9} \cdot \left( \frac{c_p \cdot \mu_h}{kh} \right)^{0,4} \cdot \left( \frac{c_p \cdot \mu_c}{kc} \right)^{-3,1} \quad (6)$$

Dari tabel 1 dan Gambar 4 terlihat bahwa semakin kecil kecepatan air panas ( $v_h$ ) maka nilai koefisien perpindahan panas ( $U$ ) semakin besar. Hal ini dapat dijelaskan karena dengan semakin kecilnya nilai  $v_h$  maka kesempatan air panas untuk melepaskan panas ke dinding logam juga semakin besar, sedangkan jumlah panas ( $Q$ ) berbanding lurus dengan nilai  $U$ . Disamping itu, apabila  $v_h$  semakin kecil maka suhu air dingin semakin besar akibatnya viskositas air dingin menjadi semakin kecil sehingga gerakan partikel-partikel cairan semakin cepat.

### III.2. Pengaruh Variasi Kecepatan Linier Air Dingin

Tabel 2. Koefisien Perpindahan Panas Menyeluruh ( $U$ ) untuk berbagai Variasi Kecepatan Linier Air Dingin Masuk ( $v_c$ ) ( $v_h=0,000455 \text{ m/s}$ ,  $La=0,05\text{m}$ ,  $De=0,14776 \text{ m}$ ,  $da=0,03 \text{ m}$ ,  $Ap=0,043475 \text{ m}^2$ ,  $A=0,02475 \text{ m}^2$ )

$v_c, \text{m}^3/\text{s}$	$v_c, \text{m/s}$	$T_1, {}^\circ\text{C}$	$T_2, {}^\circ\text{C}$	$t_1, {}^\circ\text{C}$	$t_2, {}^\circ\text{C}$	$Q_{avg,w}$	$U, \text{W/m}^2 \cdot {}^\circ\text{C}$
$3,180 \times 10^{-5}$	$7,31 \times 10^{-4}$	68,5	65	32	33,5	241,7529	287,3726
$3,040 \times 10^{-5}$	$6,99 \times 10^{-4}$	68,5	64,5	32	33,5	257,7579	308,7138
$2,780 \times 10^{-5}$	$6,39 \times 10^{-4}$	68,5	64,5	32	34	278,5738	336,0856
$2,640 \times 10^{-5}$	$6,06 \times 10^{-4}$	68,5	64	32	34	292,9206	356,1165
$2,470 \times 10^{-5}$	$5,67 \times 10^{-4}$	68,5	64	32	34,5	311,4971	381,5017
$2,180 \times 10^{-5}$	$5,01 \times 10^{-4}$	68,5	63,5	32	34,5	317,0556	391,3462
$2,070 \times 10^{-5}$	$4,75 \times 10^{-4}$	68,5	63,5	32	35	332,5606	413,5670



Dari tabel 2 disertai dengan data sifat-sifat transport panas pada suhu

yang sesuai dapat dibuat persamaan yang berlaku sebagai berikut :

$$\frac{U \cdot De}{kh \cdot kc} = 1,5 \times 10^{-7} \left( \frac{\rho_h \cdot V_h \cdot De}{\mu_h} \right)^{0,2} \left( \frac{\rho_c \cdot V_c \cdot De}{\mu_c} \right)^{-0,5} \left( \frac{cph \cdot \mu_h}{kh} \right)^{-0,7} \left( \frac{cpc \cdot \mu_c}{kc} \right)^{13,8} \quad (7)$$

Dari tabel 2 dan Gambar 5 terlihat bahwa semakin kecil kecepatan air panas ( $v_c$ ) maka nilai koefisien perpindahan panas ( $U$ ) semakin besar. Hal ini dapat dijelaskan karena dengan semakin kecilnya nilai  $v_c$  maka kesempatan air panas

untuk melepaskan panas ke dinding logam juga semakin besar, sedangkan jumlah panas ( $Q$ ) berbanding lurus dengan nilai  $U$ .

### III.3. Pengaruh Gabungan Variasi Kecepatan Linier Air Panas dan Dingin

$vh, \text{m/s}$	$vc, \text{m/s}$	$T_1, {}^\circ\text{C}$	$T_2, {}^\circ\text{C}$	$t_1, {}^\circ\text{C}$	$t_2, {}^\circ\text{C}$	$Q_{avg}, \text{w}$	$U, \text{w/m}^2 \cdot {}^\circ\text{C}$
$5,240 \times 10^{-4}$	$4,42 \times 10^{-4}$	68,5	65,5	32	33,5	200,5278	236,5932
$5,030 \times 10^{-4}$	$4,42 \times 10^{-4}$	68,5	65	32	34	237,1345	283,9376
$4,750 \times 10^{-4}$	$4,42 \times 10^{-4}$	68,5	64,5	32	34,5	269,7368	327,8323
$4,550 \times 10^{-4}$	$4,42 \times 10^{-4}$	68,5	64	32	34,5	283,1316	346,7615
$4,320 \times 10^{-4}$	$4,42 \times 10^{-4}$	68,5	63,5	32	35	313,2120	389,5178
$3,910 \times 10^{-4}$	$4,42 \times 10^{-4}$	68,5	62,5	32	36	369,6910	474,3564
$3,550 \times 10^{-4}$	$4,42 \times 10^{-4}$	68,5	61,5	32	37	422,3305	559,6726
$4,550 \times 10^{-4}$	$7,31 \times 10^{-4}$	68,5	65	32	33,5	241,7529	287,3726
$4,550 \times 10^{-4}$	$6,99 \times 10^{-4}$	68,5	64,5	32	33,5	257,7579	308,7138
$4,550 \times 10^{-4}$	$6,39 \times 10^{-4}$	68,5	64,5	32	34	278,5738	336,0856
$4,550 \times 10^{-4}$	$6,06 \times 10^{-4}$	68,5	64	32	34	292,9206	356,1165
$4,550 \times 10^{-4}$	$5,67 \times 10^{-4}$	68,5	64	32	34,5	311,4971	381,5017
$4,550 \times 10^{-4}$	$5,01 \times 10^{-4}$	68,5	63,5	32	34,5	317,0556	391,3462
$4,550 \times 10^{-4}$	$4,75 \times 10^{-4}$	68,5	63,5	32	35	332,5606	413,5670

Dari tabel 3 disertai dengan data sifat-sifat transport panas pada suhu yang sesuai dapat dibuat persamaan yang berlaku sebagai berikut :

$$\frac{U \cdot De}{kh \cdot kc} = 2,8 \times 10^{-10} \left( \frac{\rho_h \cdot V_h \cdot De}{\mu_h} \right)^{0,6} \left( \frac{\rho_c \cdot V_c \cdot De}{\mu_c} \right)^{0,1} \left( \frac{cph \cdot \mu_h}{kh} \right)^{25,9} \left( \frac{cpc \cdot \mu_c}{kc} \right)^{-1,6} \quad (8)$$

#### IV. KESIMPULAN

Kesimpulan yang dapat ditarik adalah :

- apabila kecepatan aliran linier air panas semakin kecil maka nilai koefisien perpindahan panas menyeluruh semakin besar;
- apabila kecepatan aliran linier air dingin semakin kecil maka nilai koefisien perpindahan panas menyeluruh semakin besar;
- apabila kecepatan aliran linier baik air panas maupun air dingin semakin kecil maka nilai koefisien perpindahan panas menyeluruh semakin besar.

#### DAFTAR PUSTAKA

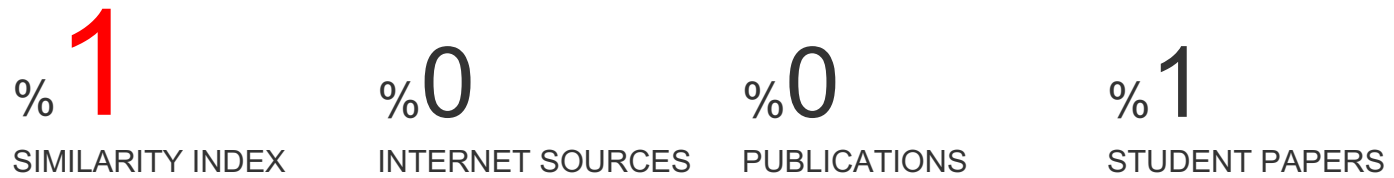
- Geankoplis, C.J., 1983, "Transport Processes and Unit Operations"; 2ed., pp. 797- 799, Allyn and Bacon Inc., Boston.
- Holman, J.P., 1991, "Perpindahan Panas" (edisi terjemahan), edisi ke-6, hlm.32 -33, hlm.480-491, Penerbit Erlangga, Jakarta.
- McCabe, W.L., Smith, J.C. dan Harriott, P., 1985, "Operasi Teknik Kimia", (edisi terjemahan), edisi ke-4, jilid 1, hlm.297-307, Penerbit Erlangga, Jakarta.

# PENGARUH KECEPATAN ALIRAN FLUIDA PANAS DAN KECEPATAN ALIRAN FLUIDA DINGIN TERHADAP KOEFISIEN PERPINDAHAN PANAS MENYELURUH PADA PERPINDAHAN PANAS MELALUI DINDING BERGELOMBANG

---

ORIGINALITY REPORT

---



PRIMARY SOURCES

---

1 Submitted to Politeknik Negeri Bandung % 1  
Student Paper

---

EXCLUDE QUOTES      ON  
EXCLUDE                ON  
BIBLIOGRAPHY

EXCLUDE MATCHES     < 10  
WORDS